

大阪市立大学工学部 正員 北田俊行 大阪市立大学工学部 正員 中井 博
日本構研情報㈱ 正員 富野正人 大阪市立大学工学部 学生員○水越牧郎

1. まえがき 本研究では、無補剛薄肉箱形断面柱の解析モデルの幅厚比パラメータ R ($=\sqrt{\sigma_y/\sigma_{crp}}$, σ_y :降伏点, σ_{crp} :板パネルの弾性座屈応力度)、および細長比パラメータ λ ($=\sqrt{\sigma_y/\sigma_{crc}}$, σ_{crc} :柱としての弾性座屈応力度)を種々変化させた弾塑性有限変位解析を行う。そして、柱座屈、板パネルの局部座屈、および、これらの連成座屈が卓越する場合の終局強度特性を、検討する。また、これらの座屈のうちいずれが卓越するかを、簡単に判別できる方法についても考察する。

2. 解析モデル 本解析で対象とした薄肉箱形断面柱の解析モデルを、図-1に示す。

まず、この図に示すように、対象柱の構造、載荷荷重、および、たわみ波形の対称性を利用して、対象柱から軸方向に $1/2$ の部分、および断面方向にも $1/2$ の部分を、それぞれ取り出し、解析モデルとした。

つぎに、初期たわみ波形は、板パネルの局部的な初期たわみ波形と柱としての全体的な初期たわみ波形とを重ね合わせた。とくに、局部的な初期たわみ波形は、柱中央断面から柱端に向かって減衰していくようにし、柱中央部のフランジにおける局部座屈が最も不利になるように導入した。

また、載荷荷重としての軸方向圧縮力は、強制軸方向変位として導入した。そして、細長比パラメータ λ を $0.305, 0.500, 0.704, 1.009, 1.271$ 、および 1.696 、また幅厚比パラメータ R を $0.406, 0.517, 0.711$ 、および 0.948 とした解析モデルを作成した。なお、解析には、板構造の弾塑性有限変位解析のための専用プログラムである USSP¹⁾を用いた。

3. 終局強度特性 まず、図-2には、 $R=0.948$ で、 $\lambda=1.271$ である解析モデルの終局状態における変形図を示す。この解析モデルでは、局部座屈と柱座屈とがともに卓越していることがわかる。つぎに、解析結果より求めた終局強度を図-3にプロットする。この図では道路橋示方書の柱の耐荷力曲線**b**などとの比較・検討も行った。そして、同図によると $R=0.948$ で、 λ が 0.711 以下である場合、解析値が曲線**b**を下回っている。また、連成座屈を考慮した耐荷力曲線**c**、および**d**のうち、Q-factor法による耐荷力曲線**d**の方が、道路橋示方書で採用されている積公式による耐荷力曲線**c**よりも、解析結果に近い終局強度を与えていることがわかる。

4. 柱座屈、局部座屈、および、それらの連成座屈の判別法

(1) 方法-1 図-4に示すように、柱中央断面の両フランジにおける軸方向垂直ひずみ ε_a 、 ε_b 、 ε_c 、および ε_d に着目し、 $\varepsilon_{bc}=\varepsilon_c-\varepsilon_d$ によって局部座屈、またフランジ表裏面の平均ひずみの差 $\varepsilon_{bl}=(\varepsilon_a+\varepsilon_b-\varepsilon_c-\varepsilon_d)/2$ によつ

Toshiyuki KITADA, Hiroshi NAKAI, Masato KANOU and Makio MIZUKOSHI

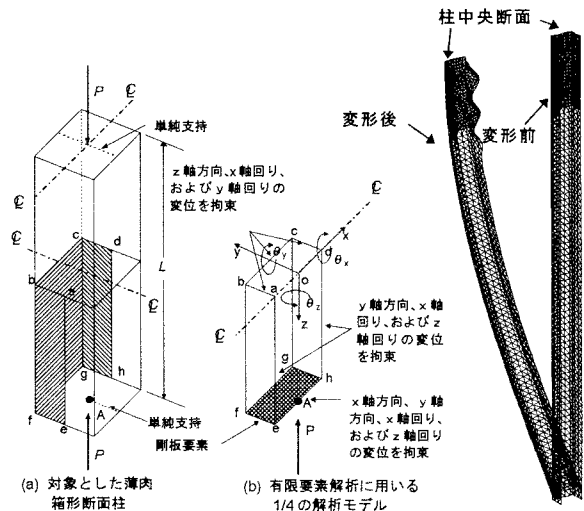


図-1 解析モデル

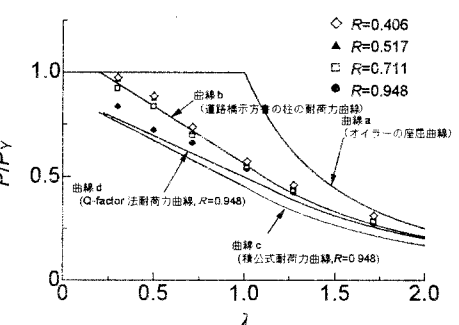
図-2 終局状態における変形図
($R=0.948, \lambda=1.271$)

図-3 解析結果と道路橋示方書の耐荷力曲線との比較

て柱座屈の度合いを調べる。なお、これらの ε_{bc} および ε_{bl} は、降伏ひずみ ε_y で割り 2乗した値を用いて、図化している。すると、図-5(a)に示す解析モデルでは、 ε_{bl} が大きくなっている、局部座屈が卓越していると考えられる。また、図-5(b)では、 ε_{bc} が卓越するために、柱座屈によって終局状態に至っていることがわかる。

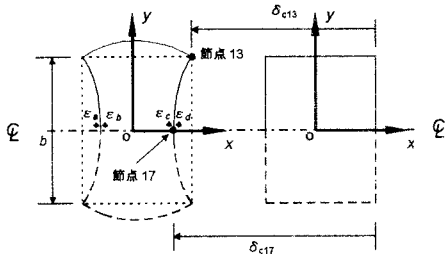


図-4 柱中央部断面のたわみとひずみ

(2) 方法-2 箱断面のコーナー部と中央部とのたわみ差で局部座屈、またコーナー部のたわみで柱座屈の度合いを調べる。すなわち、図-4に示したように、圧縮フランジのコーナー部の節点 13 のたわみを δ_{c13} とし、その中央の節点 17 のたわみを δ_{c17} とする。そして、 $\{(\delta_{c13} - \delta_{c17})/b\}^2$ によって局部座屈の度合いを、また $(\delta_{c13}/L)^2$ によって柱座屈の度合いを調べる。その一例を図-6に示す。この図(a)の解析モデルでは、 $\{(\delta_{c13} - \delta_{c17})/b\}^2$ が増加しており、局部座屈が起こっていることがわかる。また、同図(b)では、 $(\delta_{c13}/L)^2$ 、および $\{(\delta_{c13} - \delta_{c17})/b\}^2$ がほぼ等しく増加しており、連成座屈を起こしている可能性があることがある。

(3) 方法-3 細長比パラメータ λ を横軸に、また幅厚比パラメータ R を縦軸にとった DAST Ri012 の柱座屈、局部座屈、および連成座屈の区分相関図を、上記の(1)、および(2)の方法で判定した解析結果とともに、図-7に示す。DAST Ri012 の座屈区分相関図と上記の方法とでは、全塑性領域と柱座屈領域、および局部座屈領域と連成座屈領域との境界位置が、若干、異なることを明らかにできた。

5.まとめ 本研究より得られた結論をまとめると、以下のとおりである。

- ひずみ差、および、たわみ差を用いる判定法により、柱座屈、局部座屈、および連成座屈が、ほぼ区別できる。
- DAST Ri012 の座屈区分相関図は、厳格な解析に先立ち、対象部材に発生する座屈の種類をあらかじめ推定できるため、今後、本研究を発展させていく際に、利用価値が高いことが明らかにできた。

なお、本研究では、文部省・科学研究費補助金・一般研究 C(研究代表者:北田俊行)として研究補助を受けて行ったものである。

参考文献

- USSP 研究会:USSP Ver. 3.0、ユーザーズ・マニュアル、理論編、日本構研情報㈱、平成 8 年 10 月 7 月

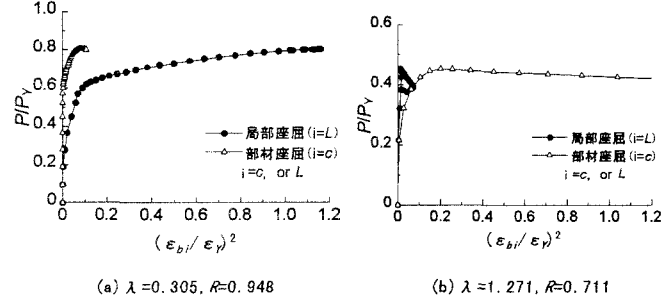


図-5 作用圧縮力-ひずみ曲線

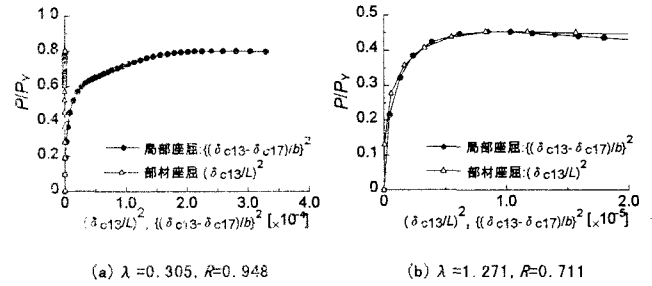


図-6 作用圧縮力-たわみ差曲線

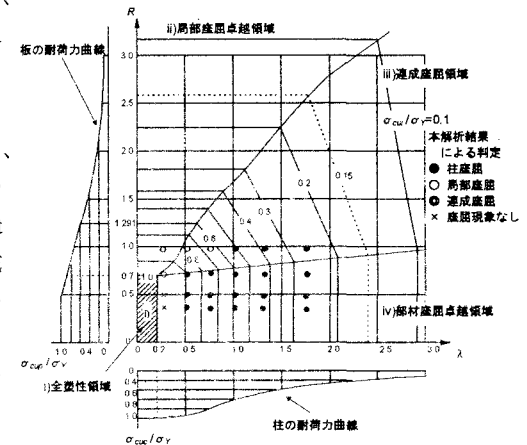


図-7 DAST Ri012 の部材座屈と局部座屈との相関区分図